

Гр 47-1  
2015-4



Российская  
академия наук

ISSN 0002—3353

# Известия Академии наук

Серия  
химическая

4  
2015  
стр. 743—972

Журнал издается одновременно на русском («*Известия Академии наук. Серия химическая*») и английском («*Russian Chemical Bulletin*») языках. Подробную информацию о журнале, содержания номеров журнала в графической форме и аннотации статей, а также годовые предметные и авторские указатели можно получить в Интернете по адресу: <http://russchembull.ru>

The Journal is published in Russian and English.

The International Edition is published under the title "Russian Chemical Bulletin" by Springer:  
233 Spring St., New York, NY 10013, USA. Tel.: 212 460 1572. Fax: 212 647 1898.  
All information concerning the journal, contents of issues with graphical and text abstracts,  
annual subject and author indices can be found in the Internet at <http://russchembull.ru>

## Содержание

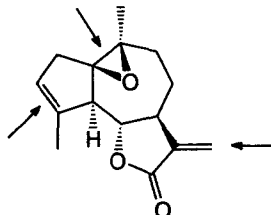
Вячеслав Михайлович Бузник (к семидесятилетию со дня рождения)

*Изв. АН. Сер. хим.*, 2015, № 4, x

## Обзоры

Новые соединения на основе природного арглабина. Регио- и стереоселективные синтезы

С. М. Адекенов



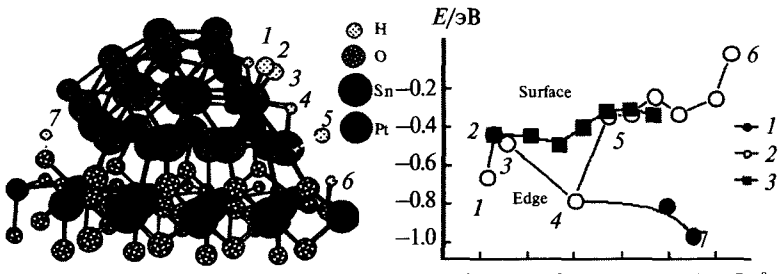
*Изв. АН. Сер. хим.*, 2015, № 4, 743

Стрелками (→) показаны центры дериватизации

## Полные статьи

Квантово-химическое моделирование миграции водорода на композитном катализаторе Pt<sub>29</sub>/SnO<sub>2</sub>

Т. С. Зюбина, А. С. Зюбин,  
Ю. А. Добровольский, В. М. Волохов

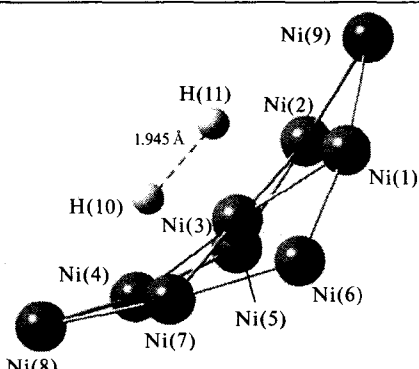


Миграция адсорбированного водорода (положения 1–6) по поверхности композитного катализатора; относительные энергии отвечают положениям атомов H на ребрах (1, 2) и боковой поверхности кластера (3); Surface — поверхность, Edge — ребра.

*Изв. АН. Сер. хим.*, 2015, № 4, 752

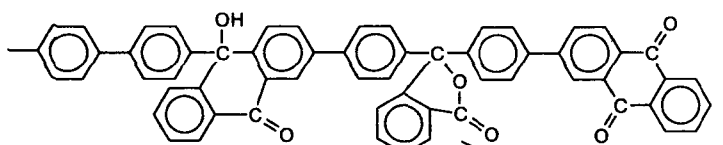
Квантово-химическое моделирование диссоциативной хемосорбции водорода на металлических поверхностях нанокластеров

А. В. Воротынцев, С. В. Зеленцов,  
В. М. Воротынцев, А. Н. Петухов,  
А. В. Кадомцева



*Изв. АН. Сер. хим.*, 2015, № 4, 759

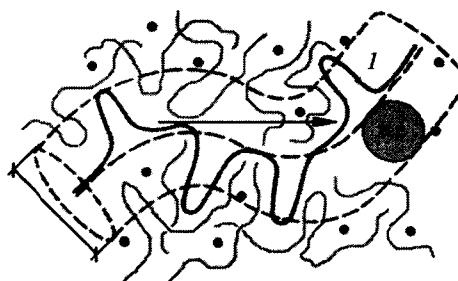
**Электронные ловушки в полидифениленфталиде и полидифенилсульфофталиде. Экспериментальные проявления и квантово-химический анализ**



Н. М. Шишлов, С. Л. Хурсан

Изв. АН. Сер. хим., 2015, № 4, 766

**О механизме трансляционной подвижности макромолекул**

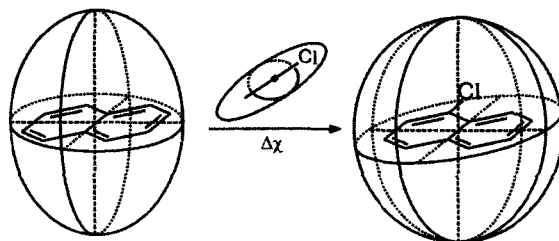


Расположение макромолекулярной цепи в трубе с «мягкой» стенкой. Стрелкой отмечено направление трансляционного движения макромолекулы. Рептационная петля (I) соразмерна атому криптона.

А. А. Щербина, М. В. Вокаль,  
А. Е. Чалых

Изв. АН. Сер. хим., 2015, № 4, 791

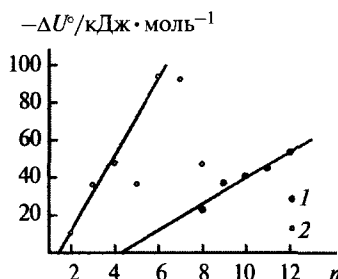
**Аддитивные свойства молекулярной магнитной восприимчивости хлорзамещенных нафталинов**



К. Ф. Шеберстов, В. А. Чертков

Изв. АН. Сер. хим., 2015, № 4, 794

**Термодинамические характеристики адсорбции органических молекул на пирамидинофлане**



Зависимость  $-\Delta U^\circ$  адсорбции алканов (1) и спиртов (2) от числа атомов углерода ( $n$ ).

В. Ю. Гуськов, В. Э. Семенов,  
Ю. Ю. Гайнуллина, А. С. Михайлов,  
Ф. Х. Кудашева

Изв. АН. Сер. хим., 2015, № 4, 800

**Агрегационное состояние амфи菲尔ных катионных производных тетрафенилпорфирина в водных микрогетерогенных системах**



М. А. Градова, К. А. Жданова,  
Н. А. Брагина, А. В. Лобанов,  
М. Я. Мельников

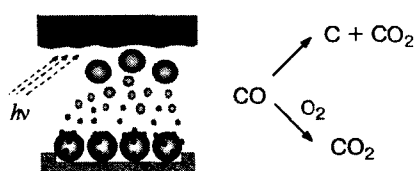
Предполагаемая структура *J*-агрегата тетрабромида 5,10,15,20-тетракис[4-(6-пиридинилгексаноил)оксифенил]порфирина.

Изв. АН. Сер. хим., 2015, № 4, 806

**Адсорбция и окисление CO на наночастицах Au и Ni, осажденных на Al<sub>2</sub>O<sub>3</sub> методом лазерного электродиспергирования**

Т. Н. Ростовщикова, М. И. Шилина,  
Е. В. Голубина, Е. С. Локтева,  
И. Н. Кротова, С. А. Николаев,  
К. И. Маслаков, Д. А. Явсин

Изв. АН. Сер. хим., 2015, № 4, 812



**Адсорбция диоксида углерода на различных адсорбентах при температурах 293–423 К и давлениях до 6 МПа**

А. А. Прибылов, И. А. Калинникова,  
К. О. Мурдмаа

Изв. АН. Сер. хим., 2015, № 4, 819

**Zr—P-модифицирование носителя γ-Al<sub>2</sub>O<sub>3</sub> кобальтсодержащих катализаторов синтеза Фишера—Тропша**

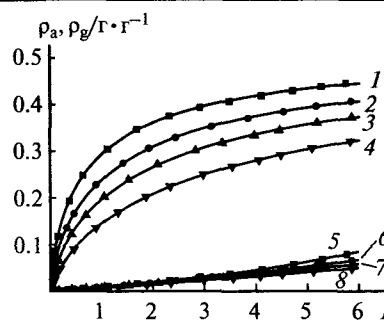
О. А. Кунгуррова, Н. В. Штерцер,  
Е. Ю. Герасимов, Н. В. Дорофеева,  
О. В. Водяникина, А. А. Хасина

Изв. АН. Сер. хим., 2015, № 4, 825

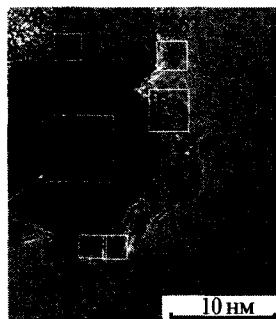
**Области гомогенности мanganитов редкоземельных элементов с гексагональной кристаллической структурой A<sub>2-x</sub>Mn<sub>x</sub>O<sub>3±δ</sub> (A = Sc, Y, Ho, Er, Tm, Yb, Lu) на воздухе**

О. М. Федорова, В. Ф. Балакирев,  
Ю. В. Голиков

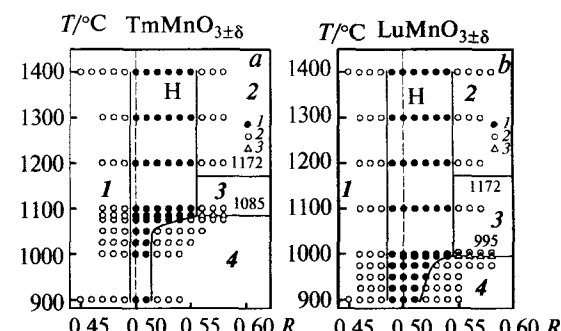
Изв. АН. Сер. хим., 2015, № 4, 835



Влияние давления ( $P$ ) в системе CO<sub>2</sub>—АУК (АУК — микропористый активный уголь) на величину плотности адсорбата ( $\rho_a$ ) при 303 (1), 323 (2), 343 (3), 373 K (4) и плотности равновесной газовой фазы ( $\rho_g$ ) при 303 (5), 323 (6), 343 (7) и 373 K (8).



Снимок ПЭМВР участка образца Co—(ZrP)Al(s) после катализитических испытаний в синтезе Фишера—Тропша.

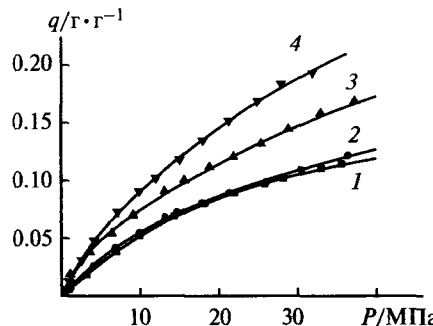


Фрагменты фазовых диаграмм систем Ln—Mn—O (Ln = Tm (a), Lu (b)) на воздухе:  $R = N_{\text{Mn}} / (N_{\text{Mn}} + N_{\text{Ln}})$ ,  $N_{\text{Mn}}$  и  $N_{\text{Ln}}$  — атомные доли марганца и РЗЭ в системе. 1 — одна твердая фаза, 2 — две, 3 — три. Штриховые вертикальные линии — стехиометрические по металлическим компонентам  $\text{LnMnO}_{3\pm\delta}$ ; сплошные горизонтальные линии — моновариантные равновесия в системах. H — области гомогенности твердых растворов  $\text{Ln}_{2-x}\text{Mn}_x\text{O}_{3\pm\delta}$  с гексагональной кристаллической структурой; двухфазные области: 1 — H +  $\text{Ln}_2\text{O}_3$ , 2 — H +  $\gamma\text{-Mn}_3\text{O}_4$ , 3 — H +  $\beta\text{-Mn}_3\text{O}_4$ , 4 — H +  $\text{LnMn}_2\text{O}_5$ .

**Растворимость метана в жидкких углеводородах при высоких давлениях**

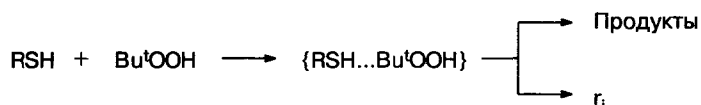
А. А. Прибылов, Н. А. Скибицкая,  
Л. А. Зекель

Изв. АН. Сер. хим., 2015, № 4, 841



Изотермы растворимости метана при 303 K:  
в n-додецине (1); в смеси, содержащей 80% n-додецина и 20% летучих углеводородов (2); в смеси, содержащей 50% n-додецина и 50% летучих углеводородов (3); в смеси, состоящей из летучих углеводородов (4).

**Влияние меркаптоэтанола на окисление углеводородов и *цис*—*транс*-изомеризацию ненасыщенных липидов**



Е. А. Менгеле, Д. А. Круглов,  
О. Т. Касаинкина

Изв. АН. Сер. хим., 2015, № 4, 846

**Нитрование 1,3,3- trimетил-1-фенилиндана на мезопористых алюмосиликатах**

Н. Г. Григорьева, М. Р. Агиуллин,  
В. П. Талзи, О. В. Водянкина,  
Б. И. Кутепов

Изв. АН. Сер. хим., 2015, № 4, 852

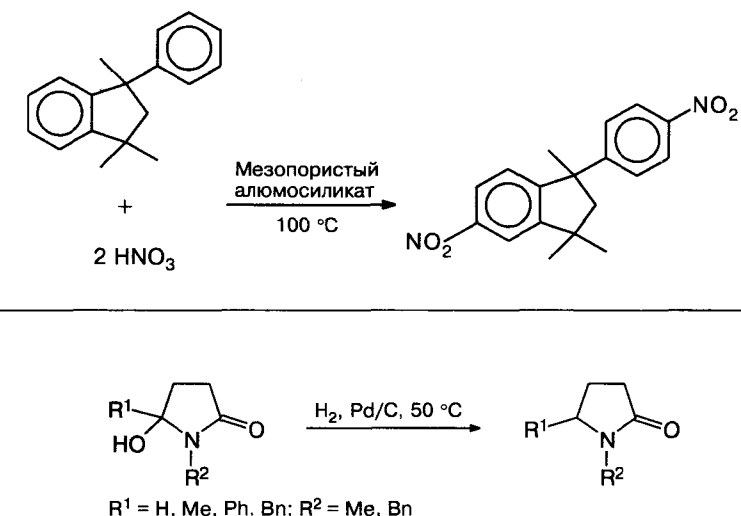
**Катализируемый палладием гидрогенолиз связи С—О γ-гидрокси-γ-лактамов как эффективный подход к синтезу 5-алкил(арил)пирролидин-2-онов**

О. В. Турова, В. Г. Бережная,  
Е. В. Стародубцева, В. А. Ферапонтов,  
М. Г. Виноградов

Изв. АН. Сер. хим., 2015, № 4, 859

**Одношаговый синтез производных имидазо[1,2-β]пиразола**

Н. Н. Колос, Б. В. Кибкало,  
Л. Л. Замигайло, И. В. Омельченко,  
О. В. Шишキン

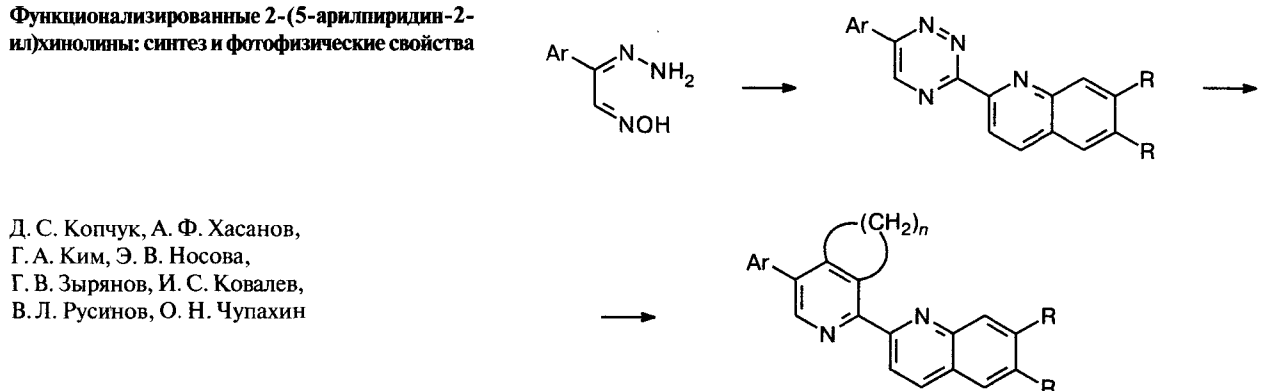


Изв. АН. Сер. хим., 2015, № 4, 864

**Функционализированные 2-(5-арилпиридин-2-ил)хинолины: синтез и фотофизические свойства**

Д. С. Копчук, А. Ф. Хасанов,  
Г. А. Ким, Э. В. Носова,  
Г. В. Зырянов, И. С. Ковалев,  
В. Л. Русинов, О. Н. Чупахин

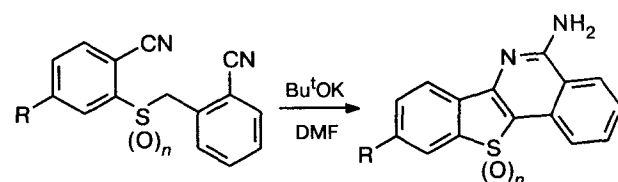
Изв. АН. Сер. хим., 2015, № 4, 872



$R = H, F, Ar = Ph, 4-FC_6H_4, 4-MeOC_6H_4$   
 $n = 0, 3$

**Синтез замещенных 5-аминобензотиено[3,2-*c*]-изохинолинов и их сульфинильных и сульфонильных производных**

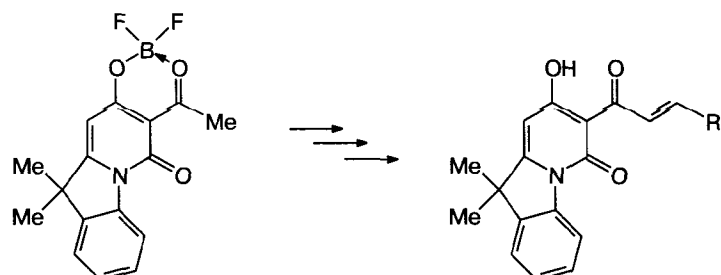
В. Е. Калугин, А. М. Шестопалов



Изв. АН. Сер. хим., 2015, № 4, 878

**Строение и реакции конденсации бородифторидных комплексов ряда ацил(гидрокси)пиридо-[1,2-*a*]индолов**

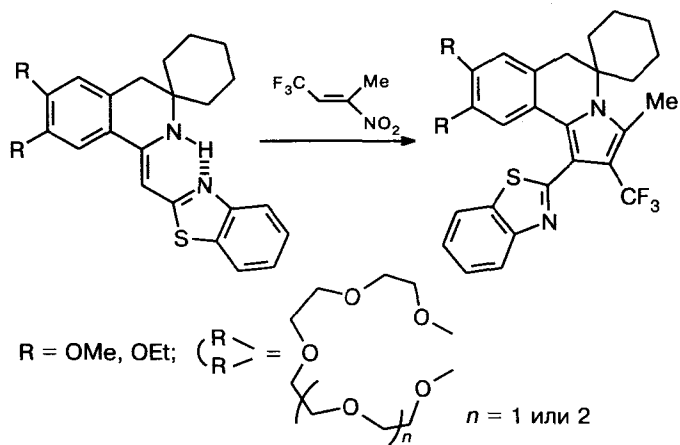
К. В. Тамбов, А. В. Манаев,  
М. И. Базылева, М. Г. Медведев,  
И. Е. Ушаков, В. Ф. Травень



Изв. АН. Сер. хим., 2015, № 4, 883

**Синтез 1-гетарил-5,6-дигидропирроло[2,1-*a*]-изохинолинов из 1-гетарилметил-3,4-дигидроизохинолинов и 3-нитро-1,1,1-трифторметил-2-ена**

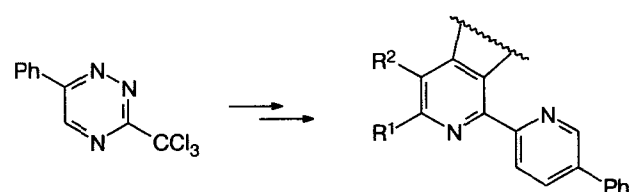
В. Ю. Коротаев, В. Я. Сосновских,  
А. Ю. Барков, П. А. Слепухин,  
Ю. В. Шкляев



Изв. АН. Сер. хим., 2015, № 4, 891

**Получение 5,6'-диарил-2,2'-бипиридинов с применением 1,2,4-триазиновой методологии**

Д. С. Копчук, Н. В. Чепчугов,  
Г. А. Ким, Г. В. Зырянов,  
И. С. Ковалев, В. Л. Русинов,  
О. Н. Чупахин

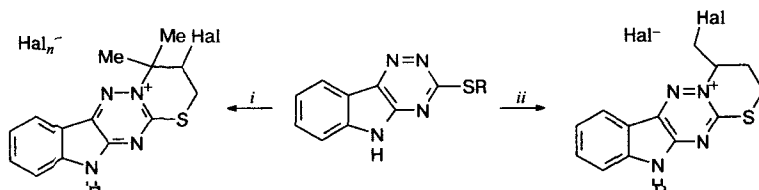


Изв. АН. Сер. хим., 2015, № 4, 897

R<sup>1</sup>, R<sup>2</sup> = бифенил-2,2'-диил, R<sup>1</sup> = R<sup>2</sup> = Ph

**Синтез новых производных [1,3]тиазино-[3',2':2,3][1,2,4]триазино[5,6-*b*]индола**

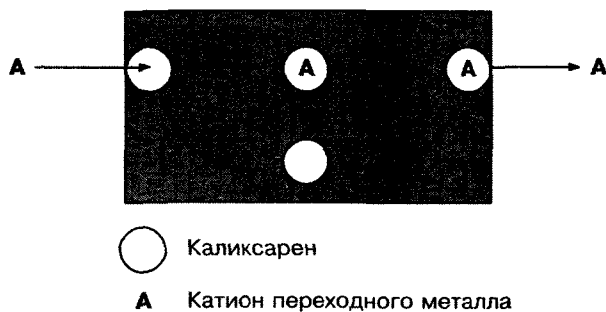
А. В. Рыбакова, Д. Г. Ким,  
М. А. Ежикова, М. И. Кодесс,  
И. А. Т. Тахер



Реагенты и условия: i. R = CH<sub>2</sub>CH=CM<sub>2</sub>, Hal = Br (n = 3), I (n = 1);  
ii. (CH<sub>2</sub>)<sub>2</sub>CH=CH<sub>2</sub>, Hal = Br, I.

Изв. АН. Сер. хим., 2015, № 4, 901

**Мембранные переносчики — 4-*трет*-бутилкаликс[4]арены, содержащие по нижнему ободу азакраун-эфирные заместители**



Е. А. Иванова, П. Е. Прохорова,  
Ю. Ю. Моржерин, А. П. Лукьяненко,  
Е. А. Алексеева, С. С. Басок

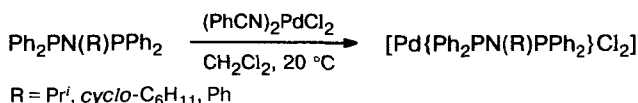
Схематическое изображение переноса катионов переходных металлов через жидкие мембранны, импрегнированные каликс[4]аренами.

Изв. АН. Сер. хим., 2015, № 4, 905

**Катализическая активность новых  $Pd^{II}$ -комплексов бидентатных  $P^{III}-N-P^{III}$ -лигандов в реакции Сузуки–Мияуры**

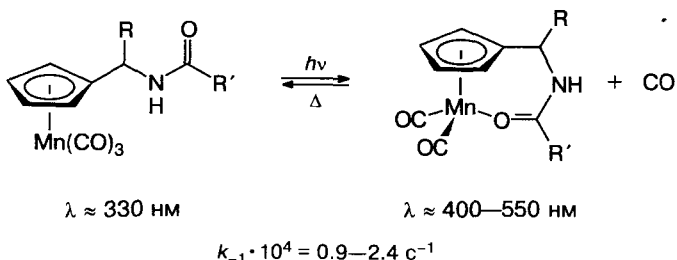
И. М. Аладжева, О. В. Быховская,  
А. А. Васильев, Ю. В. Непобина,  
З. С. Клеменкова

Изв. АН. Сер. хим., 2015, № 4, 909



**Дикарбонильные хелаты из 1-циантренилалкиламидов: образование, свойства и кинетика темновой реакции сmonoоксидом углерода**

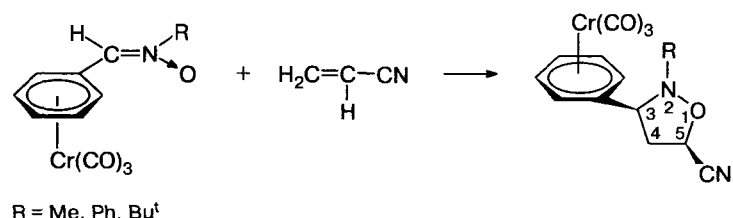
Е. С. Келбышева, Л. Н. Телегина,  
И. А. Годовиков, Т. В. Стрелкова,  
Ю. А. Борисов, М. Г. Езерницкая,  
Б. В. Локшин, Н. М. Лойм



Изв. АН. Сер. хим., 2015, № 4, 914

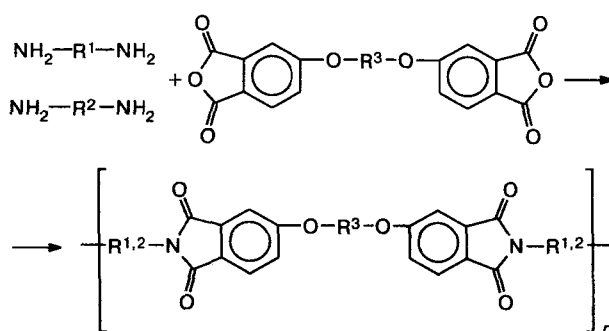
**Химия непредельных аренхромтрикарбонильных соединений. Сообщение 2. Синтез новых комплексов изоксазолидинов реакцией 1,3-диполярного циклоприсоединения  $\eta^6$ -(арен)хромтрикарбонильных производных нитронов с акрилонитрилом**

Н. Ю. Заровкина, Е. В. Сазонова,  
А. Н. Артемов, Г. К. Фукин

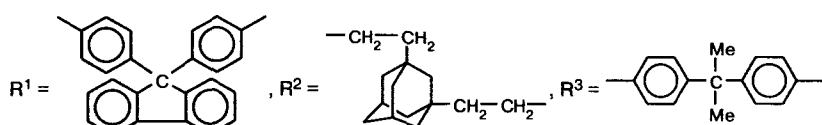


Изв. АН. Сер. хим., 2015, № 4, 923

**Формирование микроструктуры цепи в процессе синтеза адамантансодержащих сополимеримидов в расплаве бензойной кислоты**



М. Р. Батуашвили, А. Ю. Цегельская,  
Н. С. Перов, Г. К. Семенова,  
Б. С. Орлинсон, А. А. Кузнецов



Изв. АН. Сер. хим., 2015, № 4, 930

**Получение и реакционная способность металло-содержащих мономеров. Сообщение 74. Азометиновые комплексы меди в качестве модификаторов эпоксидных матриц**

Б. А. Комаров, А. Т. Капашаров,  
Э. А. Джавадян, В. А. Лесничая,  
Г. И. Джардимилиева, А. С. Бурлов,  
А. И. Ураев, С. А. Машенко,  
Д. А. Гарновский, А. Д. Помогайло

Изв. АН. Сер. хим., 2015, № 4, 936

**Синтез циклических ацеталей в процессе гидроформилирования окт-1-ена в присутствии полиолов**

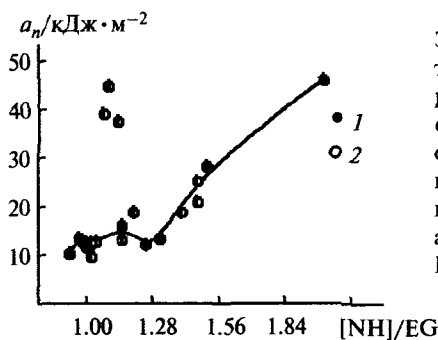
Д. Н. Горбунов, С. В. Егазарьянц,  
Ю. С. Кардашева, А. Л. Максимов,  
Э. А. Карабанов

Изв. АН. Сер. хим., 2015, № 4, 943

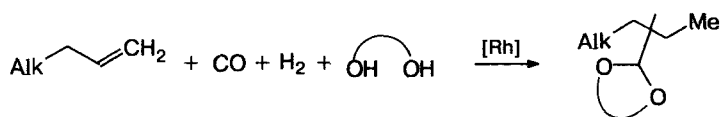
**Влияние лигнокелюлозного субстрата на денатурацию ферментов при совместной механической обработке**

В. А. Бухтояров, А. Л. Бычков,  
О. И. Ломовский

Изв. АН. Сер. хим., 2015, № 4, 948



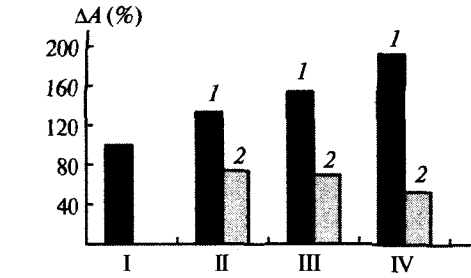
Зависимость ударной прочности ( $a_n / \text{кДж} \cdot \text{м}^{-2}$ ) эпоксиполимера «Ancarez 728» (эвтектическая смесь ароматических диаминов) от отношения функциональных групп для исходной системы и модифицированной добавками азометиновых комплексов ( $N$ ); EG — эпоксидная группа.



**Краткие сообщения**

**Квазидимерная колебательная решеточная модель инертных газов в жидкком состоянии**

С. В. Титов

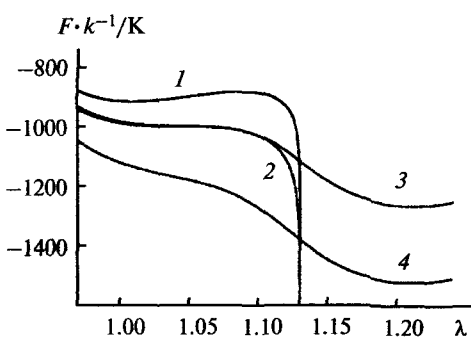


Относительное изменение активности ( $\Delta A$ ) ферментного комплекса при обработке в центробежной роликовой мельнице без субстрата (1) и с соломой кукурузы (2). Исходная солома (1); образцы, подвергнутые обработке при скорости вращения ротора 550 (II), 850 (III) и 1150 об·мин<sup>-1</sup> (IV).

Изв. АН. Сер. хим., 2015, № 4, 952

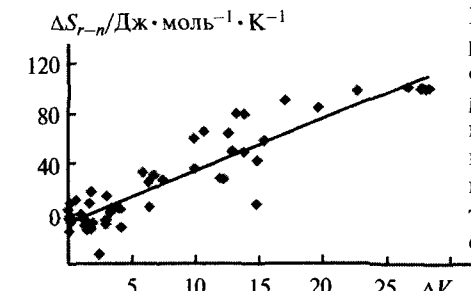
**Сопоставление изменений энталпии, энтропии и объема химических реакций**

Д. А. Корнилов, В. Д. Киселев,  
А. И. Коновалов



Зависимости свободной энергии аргона  $F$  (в градусах Кельвина) от безразмерного межатомного расстояния в решетке  $\lambda$  для моделей гармонического осциллятора (кривые 1 и 2) и ограниченно-го осциллятора (кривые 3 и 4) при температурах 50 (1), 70 (2, 3) и 100 K (4) и решеточной плотности  $\theta = 0.999$ .

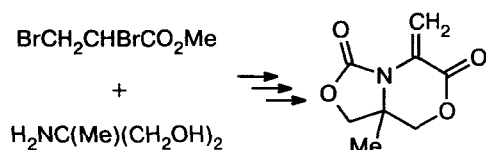
Изв. АН. Сер. хим., 2015, № 4, 956



На примере 63 молекулярных реакций показано, что факторы, определяющие изменение энтропии и объема этих реакций, в значительной степени пропорциональны ( $R = 0.92$ ), тогда как между значениями  $\Delta V_{r-n}$  и  $\Delta H_{r-n}$  такая пропорциональность отсутствует ( $R = 0.38$ ).

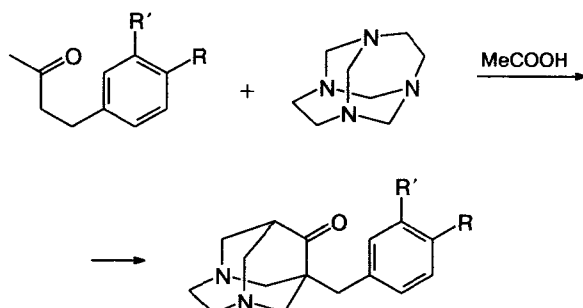
**Синтез 4,8-дикса-1-азабицикло[4.3.0]нонан-3,9-диона**

Р. Г. Костяновский, О. Н. Крутиус,  
Г. К. Кадоркина, И. И. Червин



Изв. АН. Сер. хим., 2015, № 4, 960

**Синтез душистых 3,6-диазагомоадамантан-9-онов**



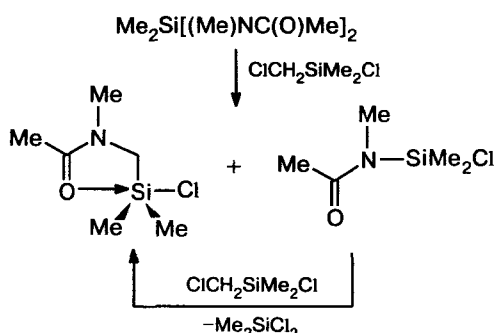
А. И. Кузнецов, Р. Т. Аласади,  
И. М. Сенан, Т. М. Серов

$R = R' = H; R = OH, R' = H; R = OMe, R' = H; R = OH, R' = OMe$

Изв. АН. Сер. хим., 2015, № 4, 962

**Синтез *N*-[хлор(диметил)силил]-*N*-метилацетамида**

Н. Ф. Лазарева, А. Ю. Никонов

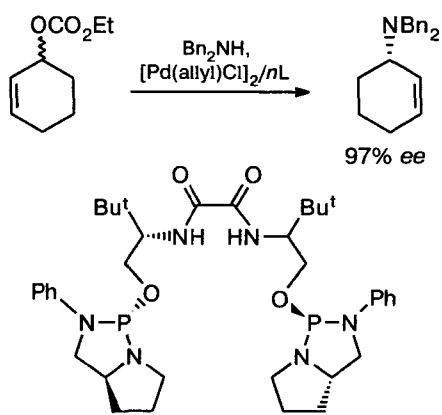


Изв. АН. Сер. хим., 2015, № 4, 965

**Письма редактору**

**Катализируемый палладием асимметрический синтез *N,N*-дibenзилициклогекс-2-ен-1-амина**

К. Н. Гаврилов, С. В. Жеглов,  
В. К. Гаврилов, М. Г. Максимова,  
И. А. Замилацков



Изв. АН. Сер. хим., 2015, № 4, 967

Конференции по химии, проводимые в России в 2015 году

Изв. АН. Сер. хим., 2015, № 4, 970